

## Přehledný referát

### STRUKTURA A VLASTNOSTI BORITÝCH A BORITO-KŘEMIČITÝCH SKEL

LADISLAV ŠAŠEK, JULIE KOVANDOVÁ, JOSEF CHMELAŘ

#### Část I. Struktura boritých a borito-křemičitých skel

Vysoká škola chemickotechnologická, katedra technologie silikátů  
Suchbátarova 5, 166 28 Praha 6

#### ÚVOD

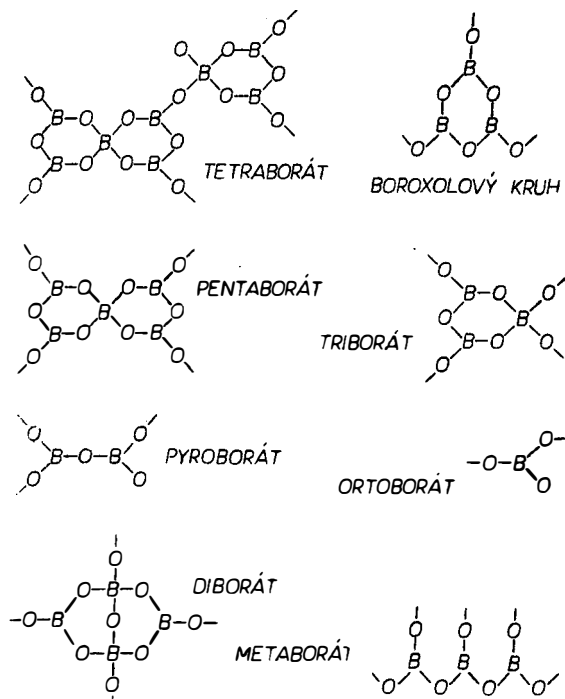
Snaha o bližší poznání struktury skla vznikla prakticky současně s jeho objevením. Vzhledem k tomu, že skelný stav s jeho nepravidelnou strukturou nelze exaktně sledovat pomocí metod propracovaných pro látky krystalické, byly používány převážně metody nepřímé, které často dovolovaly naměřené hodnoty a jejich průběh v závislosti na teplotě a složení skla různě interpretovat. Tímto vznikla řada hypotéz více či méně podložených experimentálními hodnotami. Jako příklad je vhodné uvést anomálii bóru, která byla podložena řadou měření vlastností boritých skel, podle níž přídavek alkalických oxidů k oxidu boritému způsobuje změnu koordinace bóru ze tří na čtyři až do obsahu 16,7 mol % alkalických oxidů (např. zjištěný zlom na křivce závislosti součinitele teplotní roztažnosti na obsahu alkalických oxidů). Nová metoda NMR však tuto hypotézu nejen že nepotvrdila, ale určila, že obsah 16,7 mol % alkalických oxidů leží cca v jedné třetině možného obsahu, který způsobí vznik maximálního podílu bóru v koordinaci čtyři. Takovýchto příkladů je možno uvést více. Přehled o struktuře boritých skel byl uveřejněn Němcem [1] v roce 1971. Od té doby pokročily metody zkoumání struktury skla a umožnily zpřesnění názorů na strukturu boritých skel, což je také cílem předloženého přehledného článku.

#### 1. STRUKTURA BORITÝCH SKEL

##### 1.1. Struktura alkalicko-boritých skel

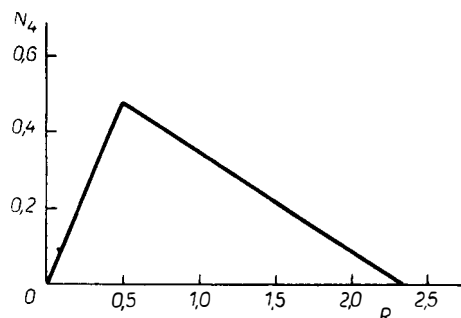
Struktura binárních alkalicko-boritých skel je tvořena planárními jednotkami  $[BO_3]$  a prostorovými  $[BO_4]$  jednotkami, které se spojují do strukturních skupin. Tyto strukturní skupiny jsou totožné se skupinami vyskytujícími se v krystalických boritanech, jak prokázal Krogh-Moe [2-5]. Jeho představa o struktuře skla byla potvrzena pozdějšími autory [8-18]. Přehled dosavadních teoretických názorů byl zpracován podrobně Němcem [1] a Fanderlikem [6]. Anomalii bóru ve vztahu ke struktuře se zabývá práce Volfa [7]. Strukturní skupiny, které se vyskytují v krystalických boritanech a v boritých sklech, jsou na obr. 1.

Struktura závisí na přídavku alkalického oxidu k  $B_2O_3$ . Přídavek je vhodné vyjadřovat jako molární poměr R (mol. %  $Na_2O$ /mol. %  $B_2O_3$ ), což se týká především alkalicko-borito-křemičitých skel. Pro lepší srovnatelnost boritých a borito-křemičitých skel je také používáno R jako vyjádření složení.



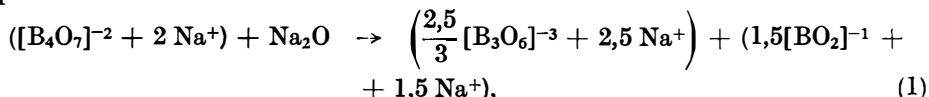
Obr. 1. Strukturní skupiny vyskytující se v krystalických boritanech a tvořící strukturu boritých skel [17, 23].

Při  $R = 0$  je struktura boritého skla tvořena boroxolovými jednotkami, které jsou složeny z roviných  $[BO_3]$  trojúhelníků. Při přídavku alkalického oxida dochází ke koordinační změně bóru a  $[BO_3]$  jednotka se mění na  $[BO_4]$  jednotku, která je součástí tetraborátové jednotky [8, 9, 12–17]. Až do hodnoty  $R = 0,12$  vznikají z boroxolů pouze tetraborátové jednotky [17]. Při  $R$  větším než 0,12 roste množství tetraborátu, ale souběžně začínají vznikat jednotky diborátové. Množství tetraborátových jednotek vzrůstá až do  $R = 0,32$ , kdy začínají tetraboráty postupně ubývat.



Obr. 2. Závislost  $N_4$  (podíl atomů bóru v koordinaci čtyři) na  $R$  (mol. %  $Na_2O/mol. % B_2O_3$ ) [12].

Úbytek je doprovázen rostoucím množstvím diborátu. Tento jev souvisí se stále větší koncentrací  $[BO_4]$  tetraedrů, které se musí zapojit do struktury skla. Diborátová struktura umožňuje spojení dvou  $[BO_4]$  se dvěma  $[BO_3]$ , kdežto tetraborátová struktura dovoluje umístění pouze dvou  $[BO_4]$  ve spojení s šesti  $[BO_3]$ . Maximálního podílu atomů bóru v koordinaci čtyří ( $N_4$ ) je dosaženo při  $R = 0,5$  (obr. 2). Struktura skla je při tomto složení tvořena především diborátovými jednotkami, doprovázenými ještě malým množstvím tetraborátu a volných  $[BO_4]$  jednotek. V této oblasti byla prokázána existence kruhového typu metaborátové skupiny [8, 9, 17]. Kruhová metaborátová jednotka vznikne reakcí molekuly  $Na_2O$  se skupinou diborátu, jak je patrné z rovnice:



kde  $[B_4O_7]^{-2}$  představuje diborát,  $[B_3O_6]^{-3}$  kruhovou jednotku metaborátu a  $[B_2O_2]^{-1}$  volnou jednotku  $[BO_4]$  [12].

Yun a Bray [12] prokázali výskyt maxima závislosti  $N_4$  na  $R$  při  $R = 0,5$  na základě NMR jader  $^{11}B$  (obr. 2). Skutečnost, že  $N_4$  nedosahuje v maximu hodnoty  $N_4 = 0,5$ , podporuje výše uvedenou představu o struktuře, která připouští existenci tetraborátu a tvorbu kruhového metaborátu. Bray et al. [12, 17] ověřili, že pro závislost  $N_4$  na  $R$  platí vztahy:

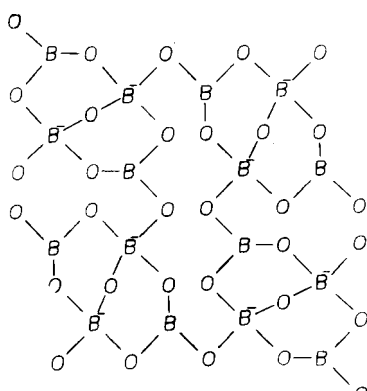
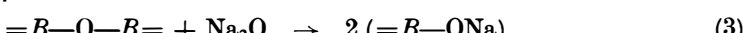
pro  $R$  menší než 0,5

$$N_4 = 0,95R, \quad (2a)$$

pro  $R$  větší než 0,5

$$N_4 = -0,26R + 0,61. \quad (2b)$$

Po přídavku alkalického oxidu, při kterém  $R$  překročí hodnotu 0,5, dochází ke změně způsobu vazby alkalického iontu; tento ion byl u  $[BO_4]$  vázán přímo na záporně nabité atom bóru, kdežto při  $R$  větším než 0,5 dochází k vazbě alkálie na nemůstkový kyslík  $[BO_3]$  trojúhelníka. Jednotky  $[BO_3]$  s nemůstkovými kyslíky tvoří strukturální skupiny — metaborát, pyroborát a ortoborát. V oblasti s  $R$  větším než 0,5 probíhají tedy dva děje [27]:



Obr. 3. Možné spojení diborátových jednotek ve shluku [20].

V oblasti  $0,5 < R < 1,6$  vznikají  $[BO_3]$  trojúhelníky s nemůstkovým kyslíkem a spojují se do metaborátové jednotky kruhového typu. Rozklad diborátu za vzniku kruhového metaborátu je popsán rovnicí (1). Při rostoucím  $R$  mohou být dodatečné alkalické ionty přijaty jen v případě existence  $[BO_3]$  se dvěma nebo se třemi nemůstkovými kyslíky, na které jsou vázány alkálie. Existence těchto skupin, které tvoří pyroboráty a ortoboráty, byla prokázána v oblasti s  $R$  větším než 1 [8, 9, 17].

Strukturální skupiny netvoří pouze nahodile uspořádanou mřížku, ale na základě dat Ramanových spekter [19] a difrakce paprsků X [20] bylo zjištěno vytváření shluků skupin stejného druhu. Strukturální skupiny ve shluku jsou spojeny nahodile a je předpokládána velká variabilita v úhlech můstkových vazeb  $B—O—B$  mezi jednotkami. Příklad možných vazebních spojení ve shluku diborátových jednotek [20] je uveden na obr. 3. Shluky jsou navzájem spojeny můstkovými kyslíky, přičemž hranice mezi shluky není tvořena fázovým rozhraním.

### 1.1.1. Semikvantitativní určení struktury alkalicko-boritých skel

Poměrné zastoupení borátových skupin ve struktuře skla bylo zjištěno Konijnen-dijkem [9] a popsáno soustavou tří rovnic:

$$a + b + c + d + \dots = 1, \quad (5)$$

$$p_a a + p_b b + p_c c + p_d d + \dots = N_4, \quad (6)$$

$$q_a a + q_b b + q_c c + q_d d + \dots = x/(1-x), \quad (7)$$

kde  $a, b, c, d$  jsou podíly bóru v různých typech borátových skupin,

$p_a, p_b, p_c, p_d$  jsou podíly bóru, který má koordinační číslo čtyři a je umístěn v určité strukturální skupině,

$q_a, q_b, q_c, q_d$  jsou poměry množství alkalických iontů k množství atomů bóru v různých borátových skupinách,

$N_4$  je celkové množství atomů bóru v koordinaci čtyři,

$x$  je molární podíl alkalického oxida,

$1 - x$  je molární podíl  $B_2O_3$ .

Vztahy (5), (6), (7) umožňují provést výpočet v případě, že strukturu skla tvoří tři borátové strukturální skupiny. Druhy uvažovaných strukturálních skupin pro výpočet je nutno volit v souladu se strukturním modelem z kapitoly 1.1. a použít ty skupiny, u kterých je největší pravděpodobnost výskytu při uvažovaném složení. Řešením soustavy rovnic (5), (6) a (7) pro zvolené struktury jsou získány hodnoty  $a, b, c, d$ , atd., které představují celková množství atomů bóru ve strukturálních skupinách určitého typu. Dělením těchto hodnot odpovídajícím množstvím atomů bóru, obsažených ve skupině, se získají poměry borátových skupin tvořících strukturu skla. Pro určení správnosti výsledků je nutné provést měření Ramanových spekter zkoumaných skel. Správnost výpočtu je indikována souhlasem vypočtených poměrů a poměrů vrcholů, které jsou přiřazeny v Ramanově spektru zvoleným strukturám. Zjištění kvantity skupin lze rozšířit na větší množství, ale je nutné předem zvolit pro tyto nadbytečné skupiny konkrétní hodnoty  $a, b, c, d$ , atd., aby soustava měla opět jen tři proměnné a byla řešitelná. Správnost volby je opět indikována poměry získanými výpočtem, srovnánými s poměry vrcholů v Ramanově spektru. Výsledky této metody však nejsou zcela jednoznačné v určení druhu a množství skupin ve struktuře skla.

Lepších výsledků dosáhli Bray et al. [17], kteří použili pro určení relativního zastoupení strukturálních skupin nukleární magnetické rezonance jader  $^{10}B$  v lithno-

boritých sklech. Princip metody spočívá ve srovnání vypočteného a experimentálního spektra. Pomocí čtyř předpokladů, uvedených níže, je možno vyjádřit množství strukturních skupin jako funkci jedné proměnné. Zvolená proměnná je využita zároveň pro simulaci spektra. Jestliže bylo dosaženo shody obou spekter, tj. spektra vypočteného pomocí této proměnné a spektra experimentálního, potom hodnota této proměnné odpovídá skutečnému strukturnímu uspořádání ve skle.

Pro určení poměru strukturních skupin ve skle je třeba splnit následující předpoklady:

- $T^4 = 1/3T^3$ ,  $D^4 = D^3$ , kde  $T^4$  označuje podíl atomů bóru, které mají koordinaci čtyři a jsou obsaženy v tetraborátu,  $T^3$  označuje podíl atomů bóru, které mají koordinaci tři a jsou obsaženy v tetraborátu. Obdobný význam mají symboly  $D^4$  a  $D^3$  pro diborátové jednotky.
- Součet kladných nábojů alkalických iontů musí být roven součtu negativních nábojů ve strukturních jednotkách:  $R = D^4 + T^4 + L^4 + M^3 + 2P^3 + 3O^3$ , kde symbol  $L^4$  označuje podíl atomů bóru s koordinací čtyři ve volné  $[BO_4]$  jednotce,  $M^3$  kruhovou metaborátovou jednotku,  $P^3$  pyroborátovou jednotku a  $O^3$  ortoborátovou jednotku. Volná  $[BO_4]$  jednotka není částí žádného strukturního seskupení.  $R = \text{mol. \% alkalického oxidu/mol. \% } B_2O_3$ .
- Počet atomů bóru v původním oxidi boritému musí být roven počtu atomů bóru ve strukturních jednotkách:  

$$1 = B^3 + T^3 + D^3 + T^4 + D^4 + L^4 + M^3 + P^3 + O^3.$$

- Podíl bóru v koordinaci čtyři  $N_4$  musí být roven experimentálně zjištěným nebo vypočteným hodnotám.

$$N_4 = T^4 + D^4 + L^4.$$

Při výpočtu podle výše uvedeného principu byl interval složení rozdělen na čtyři oblasti:

— Oblast 1, kde  $R$  leží v intervalu 0 až 0,4 (0 ≤ mol. % Li<sub>2</sub>O ≤ 30). Při výpočtu byla ve shodě se strukturním modelem předpokládána ve struktuře skla existence boroxolových kruhů, tetraborátu a diborátu. Hodnota  $N_4$  vyplývá z rovnice (2a). Po dosazení do předpokladů 1 až 4 bylo získáno pět rovnic:

$$\begin{aligned} D^3 &= D^3, & D^4 &= D^3, & B^3 &= 1 - 4R + 2D^3, \\ T^3 &= 3(R - D^3), & T^4 &= R - D^3. \end{aligned} \quad (8)$$

Proměnnou pro simulaci byla zvolena hodnota  $D^3$ . Její hodnota, při které bylo dosaženo shody vypočteného a experimentálního spektra, byla dosazena do vztahů (8) a pro dané sklo byly touto cestou získány podíly jednotlivých stavů bóru  $D^3$ ,  $D^4$ , atd. — Oblast 2, kde  $R$  leží v intervalu 0,4 až 0,7 (30 ≤ mol. % Li<sub>2</sub>O ≤ 40). Při výpočtu byla uvažována přítomnost tetraborátu, diborátu, metaborátu a volných  $[BO_4]$  jednotek. Hodnota  $N_4$  byla určena ze vztahu:

$$N_4 = \frac{R}{6} + \frac{1}{3}.$$

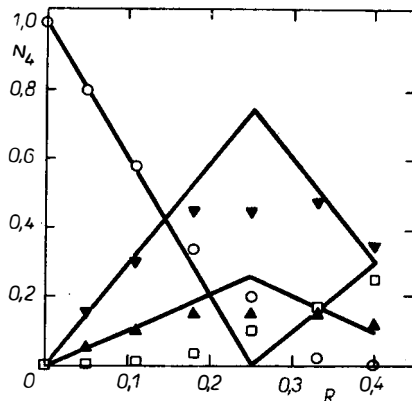
Z předpokladů 1 až 4 byly získány rovnice:

$$\begin{aligned} D^3 &= D^3, & D^4 &= D^3, & T^3 &= 1 - R - D^3, \\ T^4 &= (1 - R - D^3) \cdot 1/3, & M^3 &= \frac{5}{6}R + \frac{1}{3}, \\ L^4 &= \frac{2}{3} \left( \frac{3}{4}R - D^3 - 1 \right). \end{aligned} \quad (9)$$

Proměnnou byla opět hodnota  $D^3$  a postupem obdobným jako pro oblast 1 byly získány poměry strukturních skupin.

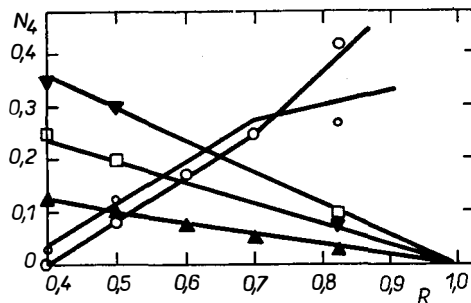
— Oblast 3, ve které  $R$  leží v intervalu 0,7 až 1,0, ( $40 \leq \text{mol. \% Li}_2\text{O} \leq 50$ ). Hodnota  $N_4 = \frac{R}{4} + \frac{5}{8}$ . Struktura skla je v této oblasti složení tvořena tetraborátem, diborátem, metaborátem a volnými  $[\text{BO}_4]$  a z předpokladu 1 až 4 plynou vztahy:

$$\begin{aligned} D^3 &= D^3, & D^3 &= D^3, & T^3 &= 1 - R - D^3, \\ T^4 &= \frac{1}{3}(1 - R - D^3), & M^3 &= \frac{5}{4}R - \frac{5}{8}, \\ L^4 &= \frac{R}{12} + \frac{7}{24} - \frac{2}{5}D^3. \end{aligned} \quad (10)$$



Obr. 4. Množství strukturních jednotek pro  $R \leq 0,4$  [17].

- $B^3$  — podíl atomů bóru v koordinaci tři v boroxolovém kruhu
- ▼  $T^3$  — podíl atomů bóru v koordinaci tři v tetraborátové jednotce
- ▲  $T^4$  — podíl atomů bóru v koordinaci čtyři v tetraborátové jednotce
- $D^3$  — podíl atomů bóru v koordinaci tři v diborátové jednotce
- $D^4$  — podíl atomů bóru v koordinaci čtyři v diborátové jednotce;  $D^3 = D^4$



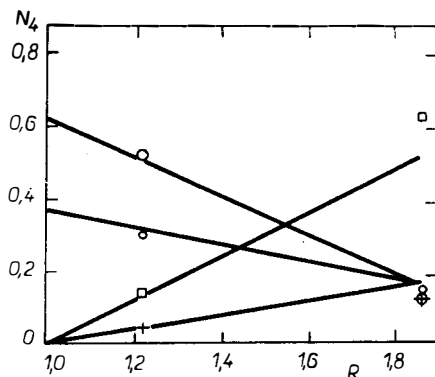
Obr. 5. Množství strukturních jednotek pro  $0,4 \leq R \leq 1,0$  [17].

- ▼  $T^3$  — podíl atomů bóru v koordinaci tři v tetraborátové jednotce
- ▲  $T^4$  — podíl atomů bóru v koordinaci čtyři v tetraborátové jednotce
- $L^4$  — podíl atomů bóru v koordinaci čtyři ve volné  $[\text{BO}_4]$  jednotce
- $M^3$  — podíl atomů bóru v koordinaci tři v metaborátové jednotce
- $D^3 = D^4$  — podíl atomů bóru v koordinaci tři a čtyři v diborátové jednotce

Výpočet poměru strukturních skupin byl proveden jako pro oblast 1 a 2.

— Oblast 4, kde  $R$  leží v intervalu 1 až 1,86 ( $50 \leq \text{mol. \% Li}_2\text{O} \leq 65$ ). V této oblasti platí pro hodnotu  $N_4$  vztah  $N_4 = \frac{R}{4} + \frac{5}{8}$ . Zde byl předpokládán výskyt volných  $[\text{BO}_4]$  tetraedrů, metaborátu, pyroborátu a ortoborátu. Z předpokladů 1 až 4 potom vyplynulo, že:

$$\begin{aligned} M^3 &= \frac{11}{8} - \frac{3}{4} R + O^3, & P^3 &= R - 1 - 20^3, \\ L^4 &= -\frac{R}{4} + \frac{5}{8}, & O^3 &= O^3. \end{aligned} \quad (11)$$



Obr. 6. Množství strukturních jednotek pro  $R > 1,0$  [17].

- $M^3$  — podíl atomů bóru v koordinaci tří v metaborátové jednotce
- $P^3$  — podíl atomů bóru v koordinaci tří v pyroborátové jednotce
- +  $O^3$  — podíl atomů bóru v koordinaci tří v ortoborátové jednotce
- $L^4$  — podíl atomů bóru v koordinaci čtyři ve volné  $[\text{BO}_4]$  jednotce

Pro tuto oblast byla jako proměnná uvažována hodnota  $O^3$  a byla pro výpočet využita stejně jako hodnota  $D^3$ .

Bray et al. [16, 17] provedli výše uvedené výpočty pro všechny oblasti a pro různé hodnoty  $R$  a získali závislost, která je vynesena na obr. 4, 5, 6.

## 1.2. Struktura alkalicko-borito-křemičitých skel

Pro alkalicko-borito-křemičitá skla platí zhruba Krogh-Moeova představa struktury [2-5]. Boro-kyslíková mřížka je tvořena strukturními skupinami stejnými jako v případě alkalicko-boritých skel (tj. boroxoly, tetraboráty, diboráty, metaboráty, ortoboráty, pyroboráty, volnými  $[\text{BO}_3]$  a  $[\text{BO}_4]$  jednotkami). Tuto základní představu je však nutno doplnit s ohledem na funkci  $\text{SiO}_2$  ve struktuře těchto skel. Druh strukturní skupiny a její relativní zastoupení ve struktuře závisí na molárním poměru  $\text{Na}_2\text{O}$  ku  $\text{B}_2\text{O}_3$ . Při posuzování struktury je však nutno rovněž přihlížet na množství  $\text{SiO}_2$  ve vztahu k  $\text{B}_2\text{O}_3$ , které je definováno poměrem  $K$  (mol. %  $\text{SiO}_2$ /mol. %  $\text{B}_2\text{O}_3$ ).

Strukturní model byl určen na základě prací autorů [12-15], kteří využili k určení struktury metodu NMR. Jejich závěry byly srovnány a doplněny o poznatky plynoucí z Ramanovy spektroskopie [8, 9, 11]. Uvedený strukturní model platí pro skla

$\text{Na}_2\text{O} - \text{B}_2\text{O}_3 - \text{SiO}_2$  s poměrem  $K$  menším než 8 [14] a je uvažován ve čtyřech oblastech složení.

— Oblast složení s  $R < 0,5$ .

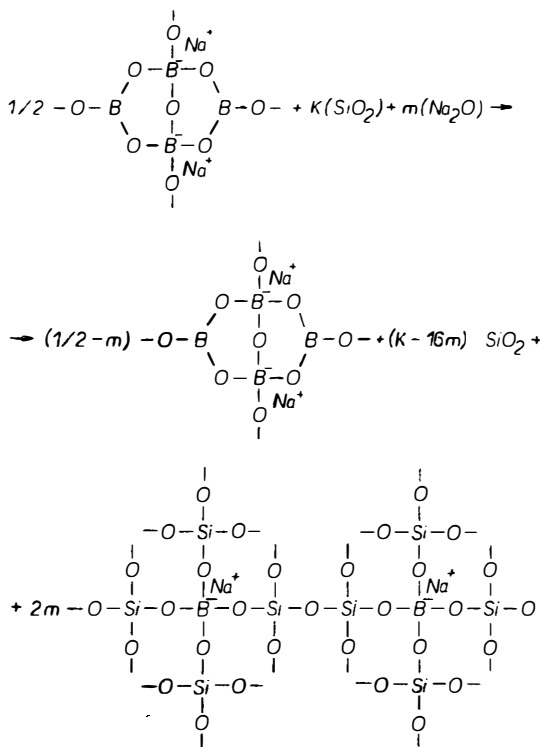
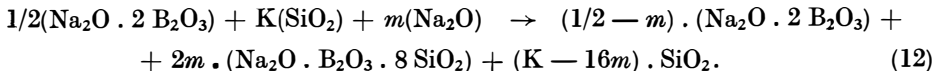
Byla prokázáno, že se ternární alkalicko-borito-křemičitá skla chovají stejně jako binární alkalicko-boritá skla, zředěná  $\text{SiO}_2$ . V této oblasti se všechny alkalické oxid podílí na tvorbě bórů v koordinaci čtyři, zapojených do strukturních skupin borátů. Tvorba nemůstkových kyslíků na  $[\text{SiO}_4]$  tetraedru, které vážou alkalický ion, nebyla prokázána [8, 9]. Druhy a relativní zastoupení strukturních skupin v závislosti na  $R$  jsou totožné s binárními skly (viz kap. 1.1.).

Podle představ Furukawy a Whitea [19] je struktura tvořena shluky borátových jednotek spojenými se skelnou mřížkou  $\text{SiO}_2$ , která je tvořena shluky  $[\text{SiO}_4]$  tetraedrů.

— Oblast složení, kde  $0,5 < R < R_{\max}$ .  $R_{\max} = \frac{1}{2} + \frac{1}{16} K$ .

Všechny  $\text{Na}_2\text{O}$ , který je přidán nad hodnotu  $R = 0,5$ , reaguje s některou z diborátových jednotek a vytváří strukturu, která byla pozorována v minerálu reedmergnetitu [21]. Tato jednotka je tvořena jedním  $[\text{BO}_4]$  tetraedrem, který je můstkovými kyslíky spojen se čtyřmi  $[\text{SiO}_4]$  tetraedry. Její chemický vzorec je  $\frac{1}{2} (\text{Na}_2\text{O} \cdot \text{B}_2\text{O}_3 \cdot 8 \text{SiO}_2)$  [14].

Jestliže je ke složení s  $R = 0,5$  přidáno  $m$  molů  $\text{Na}_2\text{O}$ , proběhne reakce:



Obr. 7. Strukturní změny popsány rovnici (12).

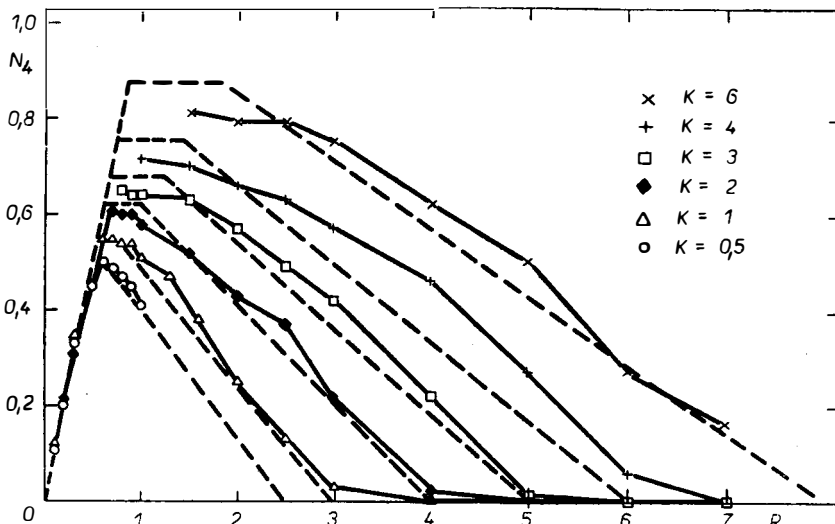
Množství reagujících složek jsou uvažována ve vztahu k 1 molu  $B_2O_3$ , přičemž  $m = R - 0,5$ . Proces končí, je-li všechn  $SiO_2$  využit k tvorbě reedmergneritových skupin. Potom:

$$K - 16m = 0, \quad m = \frac{1}{16} K, \quad R = R_{\max} = \frac{1}{2} + \frac{1}{16} K. \quad (13)$$

$$N_{4\max} = 0,95R_{\max}. \quad (14)$$

Závislost hodnoty  $R_{\max}$  na  $K$  je patrná z obr. 8. Pokles množství atomů bóru v koordinaci tří se třemi můstkovými kyslíky je na obr. 10 a souhlasí s uvažovaným strukturním modelem.

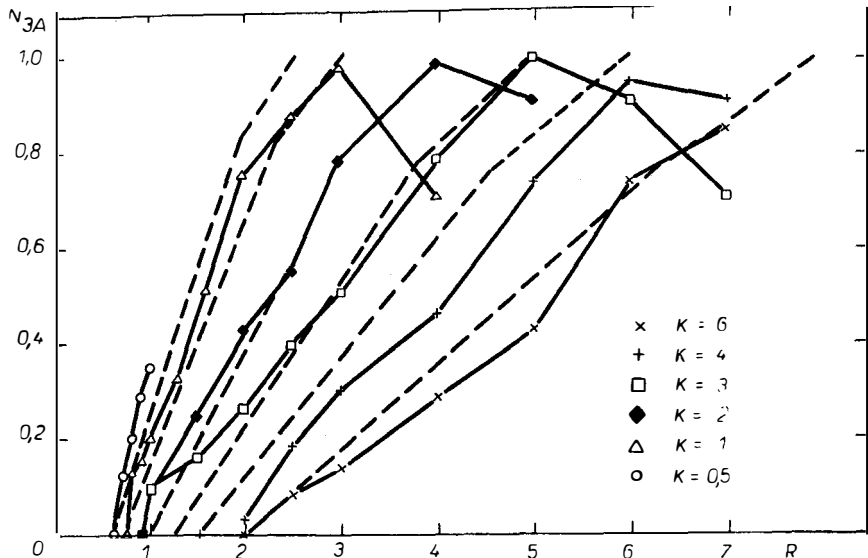
— Oblast složení, kde  $R_{\max} \leq R \leq R_{D1}$ .  $R_{D1} = \frac{1}{2} + \frac{1}{4} K$ .



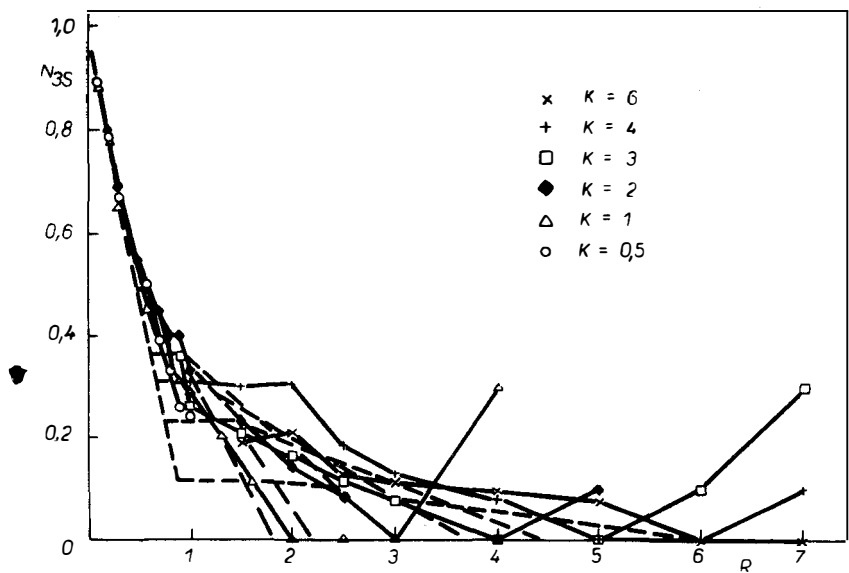
Obr. 8. Množství atomů bóru v koordinaci čtyři ( $N_4$ ) v závislosti na  $R$  [14]. Přerušované čáry — modelová představa. Plné čáry — experimentální data. Přerušované čáry mají konstantní průběh v intervalu mezi  $R_{\max}$  a  $R_{D1}$  a klesají k nule při  $R_D = 2 + K$ .

$$R_{\max} = \frac{1}{2} + \frac{1}{16} K, \quad R_{D1} = \frac{1}{2} + \frac{1}{4} K$$

Zde je všechn  $Na_2O$  absorbován reedmergneritovou skupinou za vzniku nemůstkových kyslíků na  $[SiO_4]$  tetraedru. Nedochází ke změně koordinačního čísla bóru, což je indikováno konstantním průběhem závislosti  $N_4$  na  $R$  (obr. 8). V souhlase s tímto předpokladem nebyl zjištěn výskyt asymetrických atomů bóru. Asymetrické atomy bóru mají jeden nebo dva nemůstkové kyslíky, takže jejich elektronové okolí není ve všech směrech rovnocenné. Závislost množství atomů tohoto typu na  $R$  je v uvažovaném intervalu konstantní a na nule (obr. 9). Modelová představa je podpořena závislostí  $N_{3S}$  na  $R$ .  $N_{3S}$  označuje podíl atomů bóru v koordinaci tří se symetrickým okolím (atomy obklopené rovnocennými kyslíky). Konstantní průběh závislosti na obr. 10 indikuje, že nedochází ke změně stavu bórových atomů ve skle.



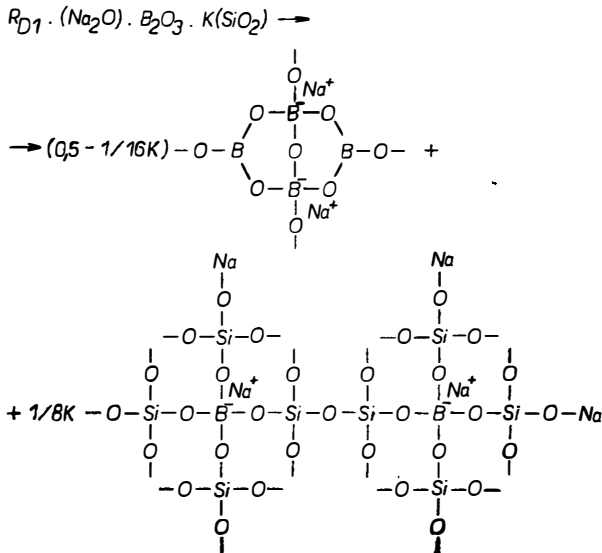
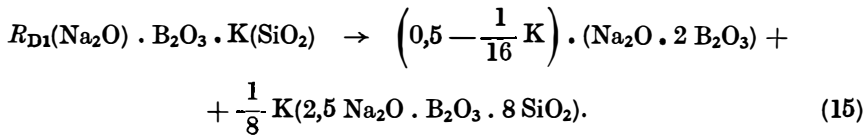
Obr. 9. Množství atomů bóru s koordinací tří s asymetrickým elektronovým okolím  $N_{3A}$  v závislosti na  $R$  [14]. Přerušované čáry — modelová představa. Plné čáry — experimentální data. Přerušované čáry začínají stoupat při  $R_{D1} = \frac{1}{2} + \frac{1}{4} K$ , vykazují malou změnu ve sklonu při  $R_{D2} = \frac{3}{2} + \frac{3}{4} K$  a dosahují 1,0 při  $R_{D3} = 2 + K$ .



Obr. 10. Množství atomů bóru v koordinaci tří se symetrickým elektronovým okolím  $N_{3S}$  v závislosti na  $R$  [14]. Přerušované čáry — modelová představa. Plné čáry — experimentální data. Přerušované čáry mají konstantní průběh od  $R_{\max}$  do  $R_{D1}$  a klesají k nule při  $R_{D2}$ .

$$R_{\max} = \frac{1}{2} + \frac{1}{16} K, \quad R_{D1} = \frac{1}{2} + \frac{1}{4} K, \quad R_{D2} = \frac{3}{2} + \frac{3}{4} K.$$

Proces vzniku nemůstkových kyslíků na  $[SiO_4]$  tetraedrech končí, když každý pár reedmergneritových skupin absorboval 1,5 molekul  $Na_2O$ :



Obr. 11. Strukturní změny popsané rovnici (15).

Z této rovnice vyplývá, že

$$R_{D1} = \frac{1}{2} + \frac{1}{4}K. \quad (16)$$

— Oblast složení, kde  $R_{D1} \leq R \leq R_{D3}$ .  $R_{D3} = 2 + K$ .

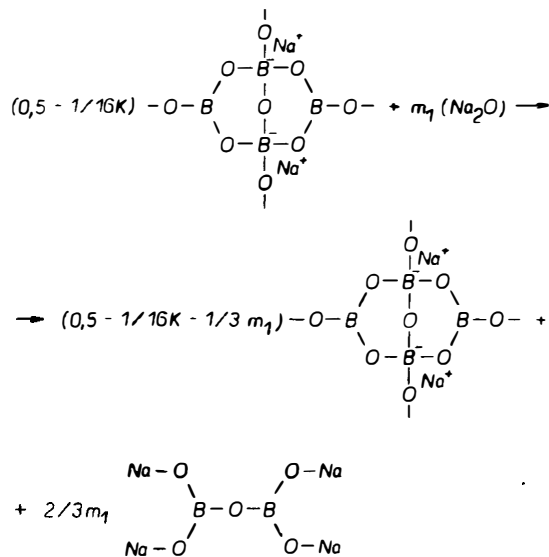
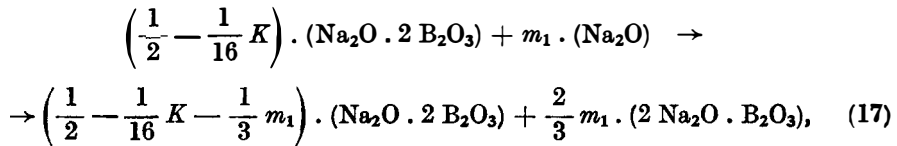
V této oblasti se podíl  $(2 - K/4)/(2 + K)$  dodatkového  $Na_2O$  spojí s diborátovými jednotkami, přičemž vznikají atomy bóru se dvěma nemůstkovými kyslíky — pyroboráty. Výskyt asymetricky koordinovaných atomů bóru je patrný z obr. 9.

Závislosti  $N_{3A}$  začínají růst při hodnotě  $R = \frac{1}{2} + \frac{1}{4}K$ , kdy je předpokládán vznik prvních pyroborátových jednotek. Podíl  $(K + K/4)/(2 + K)$  dodatkového  $Na_2O$  se kombinuje s reedmergneritovými skupinami za vzniku pyroborátů a  $[SiO_4]$  tetraedrů se dvěma nemůstkovými kyslíky na atomu křemíku.

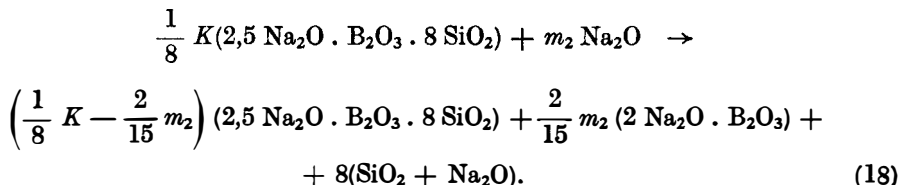
Tento princip je platný v případě, že se  $Na_2O$  rozděluje úměrně mezi diborátové a reedmergneritové skupiny podle jejich celkového počtu atomů bóru a křemíku.

Z rovnice (15) vyplývá, že tento počet je pro díboráty  $\left(\frac{1}{2} - \frac{1}{16} K\right) \cdot 4 = (2 - K/4)$  a pro Reed-Mergerové skupiny  $\frac{1}{8} K (2 + 8) = (K + K/4)$ .

Jestliže vstoupí  $m_1$  molů  $\text{Na}_2\text{O}$  do reakce s diboráty a  $m_2$  molů  $\text{Na}_2\text{O}$  s reedmergneritovými skupinami, proběhnou procesy:



Obr. 12. Strukturní změny popsané rovnici (17).



Pro vztahy (15) a (17) platí, že

$$m_1 + m_2 = R - R_{\mathrm{D1}}.$$

a

$$m_1/m_2 = (2 - K/4)/(K + K/4).$$

### Struktura a vlastnosti boritých a borito-křemičitých skel I

Konec procesů se dostavuje současně: diborátové jednotky jsou plně přeměněny na pyroboráty, když

$$\frac{1}{2} - \frac{1}{16} K - \frac{1}{3} m_1 = 0,$$

nebo

$$3 \left( \frac{1}{2} - \frac{1}{16} K \right) = m_1,$$

a reedmergneritové jednotky zcela rozloženy, když

$$\frac{1}{8} K - \frac{2}{15} m_2 = 0,$$

a

$$m_2 = \frac{15}{16} K.$$

K tomuto stavu dochází při  $R_{D3} = (m_1 + m_2) + R_{D1} = 2 + K$ . V tomto bodě je hodnota  $N_4$  nulová. V této oblasti je po předchozím vzestupu v  $N_{3A}$  (obr. 9) zaznamenaný pokles a naopak hodnota  $N_{3S}$  (obr. 10) začíná stoupat z nulové hodnoty, které dosáhla při hodnotě  $R_{D2}$ . Uvedené chování závislostí nasvědčuje vzniku ortoborátových jednotek, které mají symetrické elektronové okolí, související s třemi rovnočennými můstkovými kyslíky, vázanými na atom bóru.

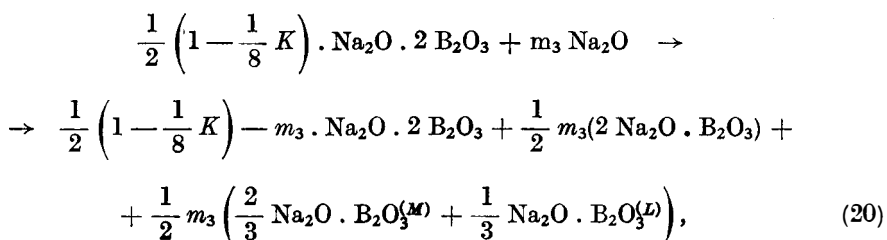
Rozdělování alkalického oxidu mezi boritou a křemičitou mřížku bylo rovněž potvrzeno Furukawou a Whiteem [22].

Proces rozkladu diborátu na pyroborát zřejmě neprobíhá přímo podle rovnice (17). Hodnoty  $N_{3S}$  (obr. 10) klesají k nule pro všechna  $K$  při určité hodnotě  $R$ . Protože platí, že

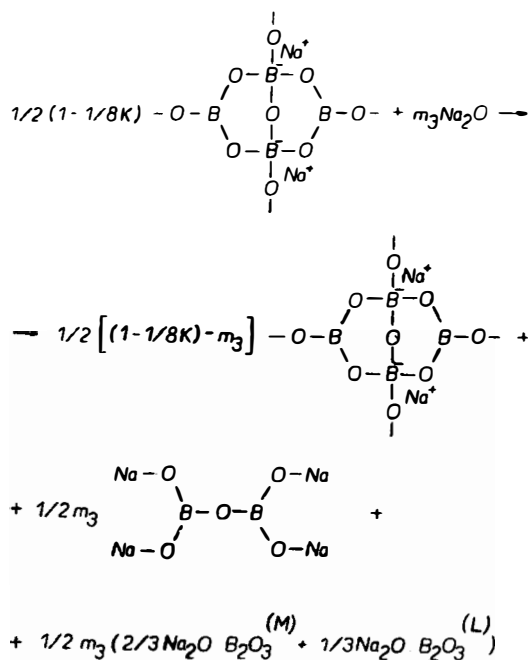
$$N_3 = N_{3A} + N_{3S}, \quad (19)$$

kde  $N_3$  je množství všech atomů bóru v koordinaci tří, potom hodnota  $N_{3A}$  v tomto bodě je rovna 1. Tato skutečnost je patrná z experimentálních výsledků [14] na obr. 9.

Děj popsaný rovnicí (17) zřejmě probíhá přes určité mezistupně. Podle Della et al. [14] je diborát rozložen za vzniku stejného množství jednotek  $\text{Na}_2\text{O} \cdot \text{B}_2\text{O}_3$  a  $2 \text{Na}_2\text{O} \cdot \text{B}_2\text{O}_3$ , přičemž se předpokládá, že se jednotka  $\text{Na}_2\text{O} \cdot \text{B}_2\text{O}_3$  sama rozdělí na metaborát a volný  $[\text{BO}_4]$  tetraedr v poměru 2 : 1. Potom lze vztah (17) vyjádřit jako dvě reakce. Všechny diboráty jsou rozrušeny následujícím dějem:



(M) označuje metaborát, (L) volné [BO<sub>4</sub>] jednotky.



Obr. 13. Změna struktury podle rovnice (20).

Z rozdělovacích vztahů plyne:

$$m_3 = (R - R_{D1}) \frac{\left(2 - \frac{1}{4}K\right)}{(2 + K)}.$$

Konec tohoto procesu nastává, když

$$\frac{1}{2} \left(1 - \frac{1}{8}K\right) - m_3 = 0,$$

neboli

$$m_3 = 1 - \frac{1}{8}K.$$

V tomto bodě je  $R$  dáno:

$$R_{D2} = \frac{3}{2} + \frac{3}{4}K,$$

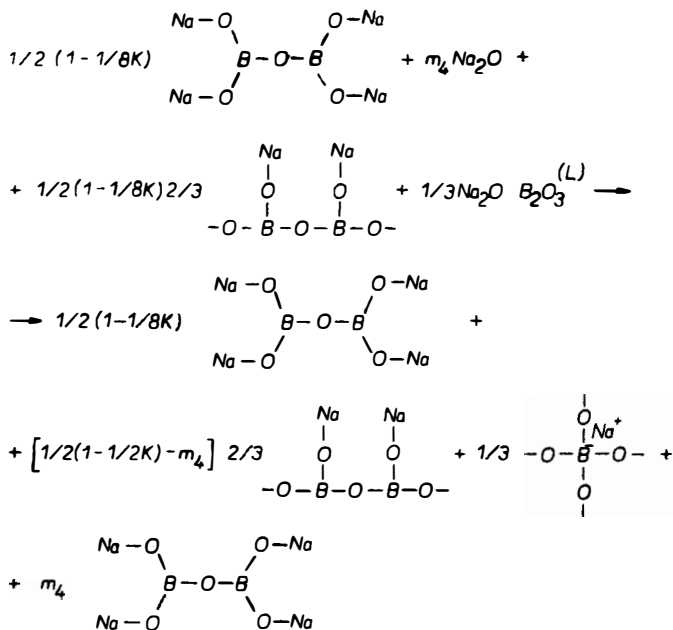
$R_{D2}$  leží na dvou třetinách cesty mezi  $R_{D1}$  a  $R_{D3}$ .

Při  $R = R_{D2}$  začíná probíhat druhý děj, ve kterém jsou rozrušeny metaborátové jednotky a volné [BO<sub>4</sub>] tetraedry:

$$\frac{1}{2} \left(1 - \frac{1}{8}K\right) (2 Na_2O \cdot B_2O_3) + \frac{1}{2} \left(1 - \frac{1}{8}K\right) \times \left(\frac{2}{3} Na_2O \cdot B_2O_3^{(M)} + \right.$$

$$\begin{aligned} & + \frac{1}{3} \text{Na}_2\text{O} \cdot \text{B}_2\text{O}_3^{(L)} \Big) + m_4 \text{Na}_2\text{O} \rightarrow \\ \rightarrow & \frac{1}{2} \left( 1 - \frac{1}{8} K \right) (2 \text{Na}_2\text{O} \cdot \text{B}_2\text{O}_3) + \left[ \frac{1}{2} \left( 1 - \frac{1}{2} K \right) - m_4 \right] \times \\ \times & \left( \frac{2}{3} \text{Na}_2\text{O} \cdot \text{B}_2\text{O}_3^{(M)} + \frac{1}{3} \text{Na}_2\text{O} \cdot \text{B}_2\text{O}_3^{(L)} \right) + m_4 (2 \text{Na}_2\text{O} \cdot \text{B}_2\text{O}_3). \quad (21) \end{aligned}$$

$$\text{Zde } m_4 = (R - R_{D2}) \left( \frac{2 - \frac{1}{4} K}{2 + K} \right).$$



Obr. 14. Změna struktury podle rovnice (21).

**Tento proces je ukončen, když**

$$\frac{1}{2} \left( 1 - \frac{1}{8} K \right) - m_4 = 0,$$

neboli

$$m_4 = -\frac{1}{2} \left( 1 - \frac{1}{8} K \right).$$

Hodnota R v koncovém bodě rovnice (21) je nalezena řešením vztahu

$$\frac{1}{2} \left(1 - \frac{1}{8} K\right) = (R - R_{D2}) \left( \frac{2 - \frac{1}{4} K}{2 + K} \right),$$

z něhož vyplývá, že  $R = R_{D3} = 2 + K$ .

Zvláštní případ ve struktuře skla nastává v situaci, když  $K$  je větší než osm [12, 13, 14]. Skla se chovají do hodnoty  $R = 0,5$  stejně jako ostatní ternární alkalicko-borito-křemičitá skla. Při  $R$  větším než 0,5 dochází ke vzniku reedmergneritových skupin. Protože  $K$  je větší než 8, obsahuje sklo dostačné množství  $\text{SiO}_2$ , aby mohlo dojít k tomu, že všechny atomy bóru budou v koordinaci čtyři a budou obsaženy v reedmergneritových skupinách. Hodnota  $N_4$  dosáhne za tohoto stavu jedné. Bude-li do skla o této struktuře přidáván alkalický oxid, dojde ke vzniku nemůstkových kyslíků na  $[\text{SiO}_4]$  tetraedrech reedmergneritových skupin za vzniku  $([\text{BO}_2]^{-1} \cdot [\text{Si}_4\text{O}_8 \cdot \text{Na}] + \text{Na}^+)$ .

## 2. METODY VÝZKUMU STRUKTURY SKLA

Strukturu skla je možno zkoumat metodami spektroskopickými [8—15] nebo na základě změny fyzikálních vlastností v závislosti na složení skla [16, 27]. Pro získání strukturního modelu je nutné tyto metody kombinovat.

### 2.1. Nukleární magnetická rezonance (NMR)

Metodu NMR použili pro vytvoření strukturního modelu autoři [12—16, 23—26, 28—30]. Tato metoda je založena na skutečnosti, že jádra atomů mají jaderný magnetický dipolový moment, jehož vektor je dán vztahem:

$$\mu = g\mu_0 I, \quad (22)$$

kde  $g$  je jaderný  $g$ -faktor,  $I$  je bezrozměrný spinový vektor  $\sqrt{I(I+1)}$ , který určuje vnitřní spinový úhlový moment jádra. Jeho jednotkou je podíl Planckovy konstanty a  $2\pi$  (např.  $\hbar/2\pi$ ). Skalár  $I$  je spin jádra, celočíselný ( $I = 1, 2, 3\dots$ ) nebo polovinový ( $I = 1/2, 3/2, 5/2\dots$ ),  $\mu_0$  je Bohrův jaderný magneton. Interakce mezi dipolovým momentem a vnějším magnetickým polem  $H$  vytvoří řadu rovnoměrně rozložených energetických úrovní. Energie těchto úrovní je dána:

$$E = -\mu \cdot H = -g\mu_0 I H = -g\mu_0 |H| m, \quad (23)$$

kde  $m$  je magnetické kvantové číslo mající hodnotu  $(2I+1)$ , která se pohybuje v intervalu od  $I$  do  $-I$ . Rovnoměrné rozdělení energetických hladin se nazývá Zeemanovo rozdělení.

Přechod mezi dvěma energetickými hladinami může být způsoben vysokofrekvenčním elektromagnetickým zářením, jehož frekvence splňuje Bohrovu podmíinku:

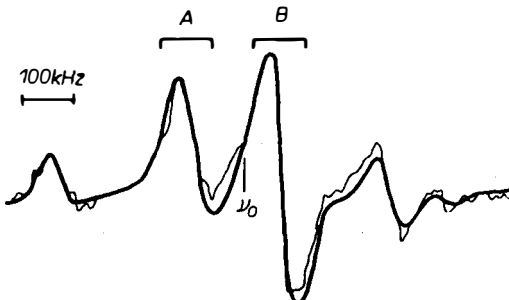
$$\hbar\nu_0 = \Delta E = g\mu_0 |H|, \quad (24)$$

kde  $\Delta E$  je rozdíl mezi dvěma energetickými hladinami,

$\nu_0$  je Larmourova frekvence, při které dojde k přechodu a která je stejná pro všechny přechody v případě existence Zeemanovy interakce.

Při změně frekvence v intervalu, ve kterém je také Larmourova frekvence, při konstantním magnetickém poli (měření je možno provést i opačně při konstantní  $v$  a proměnném  $H$ ) je možno změřit absorpční linii s maximem při splnění rezonanční podmínky. Frekvence maxima odpovídá hodnotě  $\nu_0$ . V reálných látkách jsou Zeemanovy energetické hladiny rozštěpeny interakcí jádra s jeho bezprostředním okolím. Potom je změněn tvar absorpční linie a umístění vrcholů na frekvenčním rozsahu.

Změny mohou být způsobeny jednak interakcí magnetických momentů sousedních jader, která se projeví v rozšíření a uhlazení absorpčních linek, jednak interakcí jádra s elektrickým polem v jeho okolí.



Obr. 15. Derivace absorpční křivky NMR spektra  $^{10}\text{B}$  pro binární alkalicko-borité sklo o složení 10 mol. %  $\text{Na}_2\text{O}$ , 90 mol. %  $\text{B}_2\text{O}_3$ . Tenká čára — experimentální křivka. Silná čára — vypočtená absorpční křivka simulaci spektra NMR. Vrchol A přísluší atomům bóru s koordinací tří, vrchol B atomům bóru s koordinací čtyři [23].

Pro určení struktury boritých skel je využívána interakce kvadrupolového momentu jádra  $Q$  s tenzorem gradientu elektrického pole v poloze jádra. Kvadrupolový moment mají pouze jádra s I větším než  $1/2$ . Tuto podmínu splňují jádra izotopů  $^{11}\text{B}$  ( $I = 3/2$ ),  $^{10}\text{B}$  ( $I = 3$ ) a  $^{17}\text{O}$  ( $I = 5/2$ ). Interakce kvadrupolového momentu jádra s elektrickým polem způsobuje rozštěpení Zeemanových energetických hladin. Tato interakce je definována kvadrupolovou interakční konstantou:

$$Q_{cc} = e^2 q Q / \hbar, \quad (25)$$

kde  $e$  je náboj elektronu,  $Q$  je kvadrupolový moment jádra a  $q$  je největší složka tenzoru gradientu elektrického pole v jeho základním osovém systému,  $\hbar$  je Planckova konstanta. Jestliže je tenzor gradientu elektrického pole odchýlen z osové symetrie, mírou této odchylky je asymetrický parametr  $\eta$ :

$$\eta = (q_{xx} - q_{yy})/q_{zz}, \quad (26)$$

který může nabývat hodnot od 0 do 1. Hodnoty  $q$  ve vztahu (26) jsou složky tenzoru gradientu elektrického pole v osovém systému a platí pro ně:

$$|q_{zz}| \geq |q_{yy}| \geq |q_{xx}|. \quad (27)$$

Frekvence, které odpovídají přechodům mezi energetickými hladinami, jsou funkčemi úhlu mezi použitým vnějším magnetickým polem  $\mathbf{H}$  a základním osovým systémem tenzoru gradientu elektrického pole. V polykrystalickém materiálu nebo ve skle, kde jsou všechny orientace zastoupeny se stejnou pravděpodobností, je rezonanční spektrum, odpovídající určité frekvenci, rozšířeno. Absorpční linie získaná pro takový systém se nazývá diagram pro práškový materiál (powder pattern).

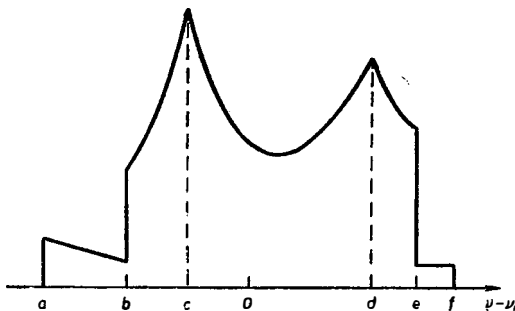
Při vyhodnocení experimentálních spekter se provádí simulace spektra NMR na základě modelové představy. Srovnání simulované absorpční linie (nebo její derivace) a experimentálně získaného spektra poskytuje informaci o správnosti modelové představy. Výpočet je založen na předpokladu existence určitých stavů

jader atomů ve skle (např.  $[BO_4]$  a  $[BO_3]$ ), které se navzájem liší kvadrupólovými parametry  $Q_{cc}$  a  $\eta$ . Jednotlivé stavy bóru jsou tedy určeny příslušnou hodnotou  $Q_{ce}$  a  $\eta$ . Tvar absorpční linie při působení kvadrupólové interakce vyplývá z rezonanční podmínky:

$$\nu = \nu_0 + \nu_Q \left( m - \frac{1}{2} \right) A + \frac{\nu_Q^2}{\nu_0} C + \frac{\nu_Q^3}{\nu_0^2} \left( m - \frac{1}{2} \right) E, \quad (28)$$

kde  $\nu_Q = 3Q_{cc}/2I(2I - 1)$ ,  $A$ ,  $C$ ,  $E$  jsou složité funkce  $m$ ,  $I$ ,  $\cos \Theta$ ,  $\cos 2\Phi$  a  $\eta$ . Veličina  $m$  označuje přechod z energetické hladiny označené magnetickým kvantovým číslem  $m$  na hladinu označenou  $m - 1$ ,  $\Theta$  a  $\Phi$  jsou Eulerovy úhly magnetického pole  $H_0$  s ohledem k hlavnímu osovému systému tenzoru gradientu elektrického pole.

Výpočtem podmínky (28) pro velké množství úhlů je simulován nahodilý stav struktury ve skle a výsledná linie je teoretickým diagramem pro práškový nebo skelný systém (obr. 16). Polohy jednotlivých vrcholů na obr. 16 jsou funkcemi  $Q_{cc}$  a  $\eta$  a je možné je vypočítat [24, 25]. Takto získaný diagram odpovídá tedy jednomu možnému stavu bóru (např.  $[BO_4]$ ) ve skle v případě působení pouze kvadrupólové interakce. Ve struktuře skla existuje současně více stavů bóru, proto je nutné vypočítat diagramy pro práškový systém pro všechny možné stavy. Vhodným poměrem těchto diagramů s přihlédnutím k vlivu ostatních interakcí se získá simulované spektrum.



Obr. 16. Absorpční linie NMR jádra  $^{10}B$ , charakterizovaná hodnotami  $Q_{cc} = 5,5$  MHz,  $\eta = 0,12$  a  $\nu_0 = 7$  MHz [17].

Skutečný tvar spektrální čáry pro sklo, v němž se projevuje distribuce  $\nu_Q$  a  $\eta$  [24], je dán rovnicí:

$$K(\nu') = \int_0^\infty d\nu_Q \int_0^1 d\eta p(\nu_Q, \eta) R(\nu', \nu_Q, \eta), \quad (29)$$

kde  $p(\nu_Q, \eta)$  je rozdělovací funkce pro  $\nu_Q$  a  $\eta$  a  $R(\nu', \nu_Q, \eta)$  je funkce dipolárního rozšíření tvaru absorpční křivky. Rozdělovací funkce může být vyjádřena jako suma složek, přičemž je předpokládáno, že každá složka přísluší jednomu stavu bóru ve struktuře skla, potom (29):

$$p(\nu_Q, \eta) = \sum_i p_i(\nu_Q) p_i(\eta). \quad (30)$$

Uvedená metoda je nejčastěji využívána pro určení spekter NMR jader  $^{10}B$ . Spektra těchto jader jsou citlivá a je možné identifikovat existenci pěti různých stavů bóru ve skle (29):

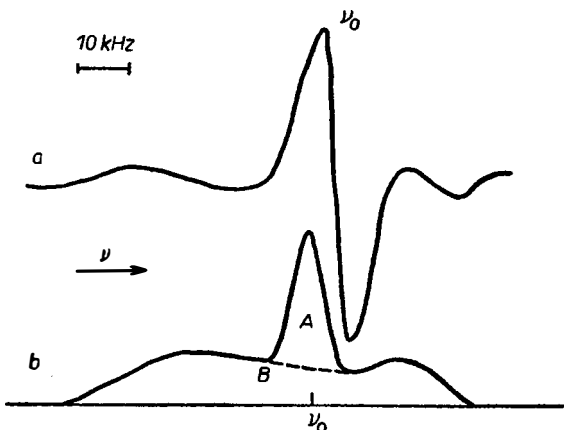
- 1 —  $[BO_4]$  tetraedr, spojený pouze s  $[BO_3]$  trojúhelníky,
- 2 —  $[BO_4]$  tetraedr, spojený se směsí  $[BO_3]$  a  $[BO_4]$  jednotek,
- 3 —  $[BO_3]$  trojúhelník, spojený pouze s  $[BO_3]$  trojúhelníky,
- 4 —  $[BO_3]$  trojúhelník, spojený se směsí  $[BO_3]$  a  $[BO_4]$  jednotek,
- 5 —  $[BO_3]$  trojúhelník, spojený pouze s  $[BO_4]$  tetraedry.

Typy spojení  $[BO_3]$  a  $[BO_4]$  jednotek, které jsou charakterizovány v bodech 1 až 5, jsou typické pro určité borátové skupiny. Je tedy možné ztotožnit stavy 1 až 5 se strukturními jednotkami:

- $T^4$  — podíl atomů bóru v koordinaci čtyři, které jsou umístěny v tetraborátových jednotkách — odpovídají stavu 1,
- $T^3$  — podíl atomů bóru v koordinaci tři, které jsou umístěny v tetraborátové jednotce — odpovídají stavu 4,
- $D^3$  — podíl atomů bóru v koordinaci čtyři, které jsou umístěny v diborátových jednotkách — odpovídají stavu 2,
- $D^3$  — podíl atomů bóru v koordinaci tři, které jsou umístěny v diborátových jednotkách — odpovídají stavu 5,
- $B^3$  — podíl atomů bóru v koordinaci tři, které jsou umístěny v boroxolových jednotkách — odpovídají stavu 3.

Z těchto předpokladů je možné provést výpočty podle vztahů v kapitole 1.1.1. Výsledkem je výpočet zastoupení strukturních skupin ve struktuře skla.

Jádra  $^{11}B$  jsou využívána především k získávání údajů o množství atomů bóru v koordinaci čtyři [12, 14, 26, 31]. Ze spektra NMR jader  $^{11}B$  není možné vyhodnotit údaje o existenci pěti stavů bóru, což je způsobeno velkým dipolárním rozšířením tvaru linie absorpční křivky. Pro vyhodnocení hodnoty  $N_4$  je využíváno integrované experimentální linie, viz obr. 17,  $N_4$  plyně z poměru ploch pod úzkou a širokou linií spektra.

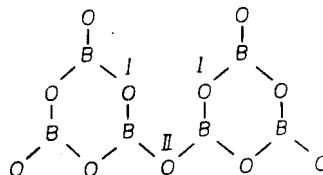


Obr. 17. Spektrum NMR jader  $^{11}B$  [24].

- a) derivovaná absorpční křivka při  $\nu_0 = 16$  MHz pro binární alkalicko-borité sklo s 20 mol. %  $Na_2O$ ,
- b) integrovaná experimentální křivka (vlastní absorpční křivka).  
 $N_4 = \text{plocha } A / (\text{plocha } A + \text{plocha } B)$

Rezonance jádra  $^{17}\text{O}$  byla využita [23] k posouzení struktury skla při nízké hodnotě  $R$ . V boroxolové struktuře byly identifikovány dva stavy kyslíku. První stav byl přisouzen kyslíkům vázaným přímo v boroxolovém kruhu (jejich vazba ve struktuře je pevná), které mají z tohoto důvodu malou distribuci parametrů  $Q_{cc}$  a  $\eta$ . Druhý stav kyslíku měl větší distribuci v parametrech  $Q_{cc}$  a  $\eta$ , a byl tedy přisouzen můstkovým kyslíkům, které spojují dva boroxolové kruhy. Distribuce kvadruplových parametrů souvisí s neuspořádaností struktury skla, a tedy s variabilitou úhlů vazby  $B-\text{O}-B$ , která je méně stabilní než vazba  $B-\text{O}-B$  v boroxolovém kruhu (obr. 18).

Metoda NMR je schopna podat množství informací o struktuře skla. Závěry je však nutné porovnat s výsledky plynoucími z ostatních metod.



Obr. 18. Dva druhy atomů kyslíku ve spojených boroxolových jednotkách, zjištěné NMR jader  $^{17}\text{O}$ .  
I — kyslíky tvorící boroxolový kruh,  
II — můstkový kyslík spojující dva boroxolové kruhy (23).

## 2.2. Elektronová paramagnetická rezonance (EPR) — určení defektů ve skle [30]

Zářením indukovaná defektní centra jsou citlivým indikátorem struktury skla při zkoumání metodou EPR. Pro využití této techniky je nutné určit druh defektu a zjistit, v jakém vztahu je defekt ke struktuře skla.

EPR se týká především elektronů se spinem  $s = 1/2$ . Elektron, podobně jako jádro, má magnetický moment, který je dán:

$$\mu = -g_e \beta \mathbf{S}, \quad (31)$$

kde  $\beta$  je Bohrův elektronový magneton, faktor  $g_e$  má pro volný elektron hodnotu  $g_e = 2,002\ 3$ . Je-li sklo umístěno v magnetickém poli  $\mathbf{H}$ , dojde k rozštěpení energetických hladin analogicky jako u jádra a platí vztah (23), ve kterém je  $m$  nahrazeno  $M$  ( $M$  je elektronové spinové magnetické číslo, přičemž  $M = \pm 1/2$  pro  $s = 1/2$ ). Přechod mezi dvěma energetickými hladinami je stimulován mikrovlnným zářením frekvence  $v_0$  a platí:

$$\Delta E = g_e \beta |\mathbf{H}| = \hbar v_0. \quad (32)$$

Pro měření EPR skla jsou využívány rezonance nepárových elektronů. Tyto rezonance jsou podobně jako u NMR ovlivněny interakcemi rezonujících elektronů s okolím. Ve skle se navíc připojuje vliv nahodilé orientace. Distribuce parametrů dávajících rezonanční podmítku a určení vlivu nahodilosti v úhlech  $\Theta$  a  $\Phi$  (úhly směru magnetického pole  $\mathbf{H}$  s osovými systémy působících interakcí) mohou být simulovány [32—34].

Defekty, které jsou nejčastěji využívány v boritých sklech pro určení struktury, jsou většinou takové, v nichž je vlnová funkce  $\psi_0$  nepárového elektronu lokalizována na jednotlivém atomu ve skelné hmotě. Jestliže tyto atomy mají jaderný magnetický

moment ( $I \neq 0$ ), mohou být zjištěny hyperjemné interakční konstanty, určující působení momentu jádra na elektron. Z určení těchto konstant je možno stanovit druh atomu, na němž je vázán nepárový elektron, a geometrii komplexu, ve kterém je atom vázán.

Pro určení struktury je užíván defekt umístěný na kyslíku, k němuž je vázán elektron s nepárovým spinem. Griscom et al. [30, 32, 35] určili tento defekt jako boro-kyslíkové děrové centrum a přiřadili jej můstkovému kyslíku, spojujícímu atomy bóru v koordinaci tří a čtyři [36]. Autoři rovněž prokázali existenci boro-kyslíkového děrového centra mezi dvěma  $[BO_4]$  tetraedry. Toto centrum se liší interakční konstantou od centra výše uvedeného, což se projeví odlišností v EPR spektru. Boro-kyslíková děrová centra byla zjištěna i v dalších borátových skupinách.

Druhý případ zářením vyvolaného defektu, který je využíván k určení struktury skla, je bórové elektronové centrum [37]. Toto centrum bylo zjištěno ve skle obohaceném izotopem bóru počítacovou simulací spektra EPR pro alkalicko-boritá skla, ozářená při teplotě 77 K.

Počítacovou simulací je možno určit z experimentálních spekter údaje o typu a množství boro-kyslíkových děrových center v závislosti na složení. Pro bórové elektronové centrum je možno získat změnu hodnoty interakční konstanty se složením.

Boro-kyslíkové děrové centrum souvisí vždy s typickou vazbou  $B—O—B$ , která odpovídá určité strukturní jednotce. Z množství boro-kyslíkových děrových center různých typů je možno určit druh a zastoupení strukturních skupin ve struktuře skla. Změna interakční konstanty pro bórové elektronové centrum souvisí se změnou okolí defektu, a může tedy poskytovat informace o kvalitativních změnách struktury.

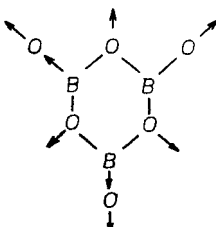
Metodu EPR je vhodné používat souběžně s ostatními metodami, především s NMR.

### 2.3. Ramanova spektroskopie

Princip Ramanovy spektroskopie spočívá ve využití Ramanova jevu. Při dopadu monochromatického záření na prostředí je největší podíl záření bez změny vlnové délky rozptýlen. Určitý malý podíl je rozptýlen za změny vlnové délky a dochází tak k tzv. Ramanovu rozptýlu. Vznik tohoto jevu lze vysvetlit tak, že kvantum  $\hbar\nu$  dopadajícího světla naráží na molekulu látky a při srážce bud předá, nebo získá od molekuly určitou energii. Změna energie se projeví ve vibračně rotačním stavu molekuly. Existují-li ve struktuře prostředí určité pravidelné útvary, projeví se jejich vibrace čarami v Ramanově spektru. U každé strukturní skupiny jsou možné jen určité typy vibrací, které se projeví specifickou polohou vrcholu ve spektru. Je-li zkoumaným prostředím sklo, projeví se existence struktur vznikem pásu místo čar ve spektru. Rozšíření spektrálních čar souvisí s neuspořádaností struktury skla. Z tohoto důvodu je výhodné použít pro skla laserové Ramanovy spektroskopie, která poskytuje vysokou rozlišovací schopnost [8].

Interpretace Ramanových spekter je prováděna na základě Krogh-Moeovy představy o struktuře skla. Z analýzy X-paprsky je známa struktura krystalických boritanů, uvedená na obr. 1. Ramanova spektra těchto krystalických sloučenin vykazují charakteristická maxima, která souvisí s vibrací určitých strukturních skupin. Při analýze experimentálního spektra skla je z přítomnosti charakteristických vrcholů možno usuzovat na přítomnost určité strukturní skupiny. Této metody použil Bril [38] a strukturním skupinám přiřadil typické pásy v Ramanově spektru.

Pro boroxolový kruh byl určen [38] pás při  $806 \text{ cm}^{-1}$ , který odpovídá vibraci rozprínající boroxolový kruh. Pás při  $770 \text{ cm}^{-1}$  souvisí s vibrací šestičlenného borátového kruhu s jedním nebo se dvěma  $[\text{BO}_4]$  tetraedry. Větší energie vibrace boroxolového kruhu než u kruhů, které obsahují  $[\text{BO}_4]$  tetraedry, souvisí s  $\pi$ -charakterem vazby v boroxolu (bór v  $[\text{BO}_3]$  trojúhelníku má hybridizaci  $\text{sp}^2$ ). Vstupem  $[\text{BO}_4]$  je  $\pi$ -charakter borátového kruhu narušen (bór v  $[\text{BO}_4]$  tetraedru má hybridizaci  $\text{sp}^3$ ) a vazby nejsou již tak pevné, takže k vibraci může dojít při nižší energii.



Obr. 19. Rozprínaci vibrace boroxolového kruhu, které byly přiřazeny pásy při  $806 \text{ cm}^{-1}$ .

Výskyt metaborátu je doprovázen vznikem pásu při  $630 \text{ cm}^{-1}$ , pyroborátu při  $820 \text{ cm}^{-1}$  a ortoborátu při  $940 \text{ cm}^{-1}$ . Pro  $[\text{SiO}_4]$  tetraedry bez nemůstkových kyslíků byl přiřazen pás  $470 \text{ cm}^{-1}$ , pro tetraedry s jedním můstkovým kyslíkem pás při  $1\,100 \text{ cm}^{-1}$ . Pro  $[\text{SiO}_4]$  tetraedr se dvěma nemůstkovými kyslíky byly přiřazeny pásy  $530 \text{ cm}^{-1}$ ,  $970 \text{ cm}^{-1}$  a  $590 \text{ cm}^{-1}$ .

Z Ramanových spekter lze určit strukturní model z kvalitativního hlediska. Je rovněž možné provést semikvantitativní vyhodnocení struktury (kap. 1.1.1.), které však není zcela jednoznačné, a je proto výhodné doplnit výsledky Ramanovy spektroskopie výsledky jiných metod, především NMR.

#### 2.4. Infračervená spektroskopie

Princip metody spočívá v absorpci infračerveného záření určité vlnové délky. Energie dodaná zářením v této oblasti způsobuje vibrace charakteristických skupin. Vibrační stavy molekul a struktur jsou kvantovány. Proto mohou být absorbovány pouze určité vlnové délky, které splňují energetickou podmínu přechodu molekuly z jednoho vibračního stavu do druhého. Absorpci těchto vlnových délek vzniká absorpční spektrum. Při existenci určitého strukturního uspořádání jsou některé vibrace vyloučeny a ve spektru se projeví charakteristické vibrace typické pro určitou strukturu [30].

Při měření IČ absorpčního spektra skla jsou původní úzké absorpční čáry rozšířeny vlivem neuspořádanosti struktury skla na absorpční pásy.

Vyhodnocení spekter je prováděno na základě Krogh-Moeových představ o struktuře [2–5], obdobně jako u Ramanovy spektroskopie. Přiřazení absorpčních pásem strukturním skupinám je ztíženo možností degenerace pásem. Vibrace některých borokyslíkových struktur mají stejný absorpční pás jako vibrace skupin spojených s přítomností vody a oxidu uhličitého ve struktuře skla [1].

Infračervená spektroskopie je využitelná především ve spojení s Ramanovou spektroskopii, protože se tyto dva metody navzájem doplňují. Vibrace aktivní v Ra-

manově spektru jsou spojeny se změnou polarizace molekuly, kdežto vibrace aktivní v IC spektru jsou spojeny se změnou dipólového momentu. Z tohoto rozdělení spekter podle aktivity vibrací vyplývá jejich schopnost indikovat různé struktury a tedy výhodnost jejich souběžného použití.

## 2.5. Difrakce paprsků X [30]

Principem metody je odraz rentgenových paprsků, dopadajících na vzorek, a jejich interference. Vykazuje-li struktura určité uspořádání, projeví se tato skutečnost výskytem maxim v závislosti intenzity  $I$  na  $k$ , kde

$$k = 4\pi \sin \Theta / \lambda \quad (33)$$

( $2\Theta$  je snímací úhel a  $\lambda$  je vlnová délka monochromatického rentgenového záření).

Při vyhodnocování difraktogramu je nejprve od hodnoty  $I$  odečteno číslo  $B$ , které vyjadřuje působení pozadí, souvisejícího s přítomností atomů (nebo iontů) ve volném plyném stavu. Rozdíl ( $I - B$ ) je potom vynásoben faktorem  $k/B$  pro získání tzv. redukované intenzitní křivky. Fourierovou transformací je tato křivka změněna na radiální distribuční funkci, která je vlastně vyjádřením pravděpodobné distribuce radiálních vzdáleností všech atomů, obklopujících každý krystalograficky odlišený atom ve struktuře.

Pro skelný  $B_2O_3$  zahrnuje radiální distribuční funkce součet tří individuálních párových distribucí  $B-O$ ,  $O-O$  a  $B-B$ . První vrchol odpovídá základní  $B-O$  vazbě. Z pozice tohoto maxima může být zjištěna průměrná vzdálenost  $B-O$  a z jeho plochy průměrné koordinační číslo bóru. Pro trojúhelníkovou koordinaci byla zjištěna délka vazby  $B-O$  0,137 nm a pro tetraedrickou koordinaci 0,148 nm [30]. Druhý vrchol na experimentální radiální distribuční funkci odpovídá vazbě  $O-O$ , která je charakteristická pro  $[BO_3]$  (délka této vazby je 0,237 nm) a  $[BO_4]$  (délka této vazby je 0,242 nm). Z prvních dvou vrcholů lze určit koordinaci atomů bóru.

Vyhodnocování difraktogramů zdokonalili Mozzi a Warren [40]. Zavedli syntézu radiální distribuční funkce proložením přesně vypočtené párové funkce distribuční křivky. Byla vypočtena pro skelný  $B_2O_3$  na základě předpokladu boroxolové struktury. Shoda párové funkce distribuční křivky a radiální distribuční funkce odpovídá shodě modelové představy a skutečné struktury ve skle.

Kromě těchto možností v určení struktury byla difrakce X-paprsků použita pro zjišťování uspořádání borátových jednotek do shluků [20].

Metody difrakce paprsků X je nutné používat ve spojení s ostatními metodami ke zjišťování struktury skla.

## 2.6. Změna fyzikálních vlastností v závislosti na složení

Změna fyzikálních vlastností v závislosti na složení indikuje strukturní změny při přídavku modifikátoru do skla. Měření fyzikálních závislostí je doplňkem strukturálních metod při tvorbě strukturního modelu skla. Pro vysvětlení struktury boritých skel mají největší význam měření změny viskozity, elektrické vodivosti, hustoty, povrchového napětí, koeficientu teplotní roztažnosti, indexu lomu.

## 3. ZÁVĚR

Struktura boritých skel, a tím i jejich fyzikální vlastnosti vykazují na rozdíl od křemičitých skel řadu zvláštností, které jsou v praxi velice využívány. Jedná se především o nízké hodnoty součinitele teplotní roztažnosti, vysokou odolnost vůči chemickým činidlům a vůči tepelnému rázu atd., což činí tato skla v současné době těžko nahraditelná skly křemičitými. Bližší objasnění struktury boritých skel není proto významné pouze z teoretické stránky, ale má i velký význam praktický, je snahou řady výzkumných pracovišť boritá skla nahradit skly křemičitými. Tuto nahradu je možné úspěšně provést jen se znalostí struktury boritých skel, která podmiňuje i jejich vlastnosti. Vztahem mezi strukturou boritých skel a jejich vlastnostmi se zabývá další práce.

## Literatura

- [1] Němec L.: *Silikáty* 15, 73 (1971).
- [2] Krogh-Moe J.: *Phys. Chem. Glasses* 6, 461 (1965).
- [3] Krogh-Moe J.: *Phys. Chem. Glasses* 3, 101 (1962).
- [4] Krogh-Moe J.: *Phys. Chem. Glasses* 1, 26 (1960).
- [5] Krogh-Moe J.: *Ark. Kemi* 12, 475 (1958).
- [6] Fanderlik M.: *Struktura skla*. SNTL, Praha 1971.
- [7] Wolf M. B.: *Sklář a keramik* 33, č. 1. (1983).
- [8] Konijnendijk W. L., Stevels J. M.: *Borate Glasses*, str. 259. Plenum Press, New York 1978.
- [9] Konijnendijk W. L.: *Philips Res. Repts. Suppl.* 1 (1975).
- [10] Furukawa T., White W. B.: *J. Am. Ceram. Soc.* 64, 443 (1981).
- [11] Jin Y., Chen Y.: in *XIII. Internationaler Glas-Kongress*, Hamburk 1983.
- [12] Yun Y. H., Bray P. J.: *J. Non-Cryst. Solids* 27, 363 (1978).
- [13] Yun Y. H., Feller S. A., Bray P. J.: *J. Non-Cryst. Solids* 33, 273 (1979).
- [14] Dell W. J., Bray P. J., Xiao S. Z.: *J. Non-Cryst. Solids* 58, 1 (1983).
- [15] Xiao S. Z., Guo Q.: *J. Non-Cryst. Solids* 52, 171 (1982).
- [16] Bray P. J., Harris I. A., Bucholtz F., Geissberger A. E.: *Stekloobraznoje sostojanie*, str. 55. Leningrad 1983.
- [17] Bray P. J., Feller S. A., Jellison G. E., Yun Y. H.: *J. Non-Cryst. Solids* 38, 39, 93 (1980).
- [18] Button D. P., Tandon R., King C., Veléz M. H., Tuller H. L., Uhlmann D. R.: *J. Non-Cryst. Solids* 49, 129 (1982).
- [19] White W. B., Brawe S. A., Furukawa T., McCarthy G. J.: *Borate Glasses*, str. 281. Plenum Press, New York 1978.
- [20] Oh K. D., Morikawa H., Okuno H., Marumo F.: *J. Ceram. Soc. Jap.* 90, 175 (1982).
- [21] Appleman D. E., Clark J. R.: *Amer. Miner.* 50, 1 827 (1965).
- [22] Furukawa T., White W. B.: *J. Mater. Sci.* 16, 2 689 (1981).
- [23] Bray P. J.: *Borate Glasses*, str. 321. Plenum Press, New York 1978.
- [24] Jellison G. E., Bray P. J.: *J. Non-Cryst. Solids*, 29, 187 (1978).
- [25] Jellison G. E., Bray P. J., Feller S. A.: *J. Magn. Res.* 27, 121 (1977).
- [26] Ždanov S. P., Šmidel G.: *Fiz. i Chim. Stěkla* č. 1, 452 (1975).
- [27] Takagashi K., Osaka A., Furuno B., Ooka K.: *J. Non-Cryst. Solids* 55, 15 (1983).
- [28] Jellison G. E., Bray P. J., Taylor P. C.: *Phys. Chem. Glasses* 17, 35 (1976).
- [29] Bray P. J., Jellison G. E.: *Borate Glasses*, str. 353. Plenum Press, New York 1978.
- [30] Griscom D. L.: *Borate Glasses*, str. 11. Plenum Press, New York 1978.
- [31] Scheerer J. S., Müller-Wartmuth W., Dutz H.: *Glastechn. Ber.* 46, 108 (1973).
- [32] Griscom D. L., Taylor P. C., Ware D. A., Bray P. J.: *J. Chem. Phys.* 48, 5 158 (1968).
- [33] Taylor P. C., Bray P. J.: *J. Magn. Res.* č. 2, 305 (1970).
- [34] Peterson G. E., Kurkjian C. R., Carnevale A.: *Phys. Chem. Glasses* 15, 52 (1974).
- [35] Griscom D. L., Taylor P. C., Bray P. J.: *J. Chem. Phys.* 50, 977 (1969).
- [36] Taylor P. C., Griscom D. L.: *J. Chem. Phys.* 55, 3 610 (1971).
- [37] Griscom D. L.: *J. Chem. Phys.* 55, 1 113 (1971).
- [38] Bril T. W.: *Philips Res. Repts. Suppl.* 2 (1976).
- [39] Mozzi R. L., Warren B. E.: *J. Appl. Cryst.* 3, 251 (1970).